

# 氢原子和类氢离子定态薛定谔方程的求解

Solara570

2023 年 8 月 10 日

## 目录

0	前言	1
1	预处理	1
1.1	坐标系选取	1
1.2	角动量算符引入	2
2	变量分离	3
2.1	径向坐标分离	3
2.2	角向坐标分离	4
3	逐个击破	5
3.1	解 $\Phi$ 方程	5
3.2	解 $\Theta$ 方程	6
3.2.1	改写三角函数形式	6
3.2.2	特殊情况: $m = 0$ 时的解	7
3.2.3	一般情况: $m \neq 0$ 时的解	8
3.3	球谐函数 $Y(\theta, \varphi)$	10
3.4	解 $R$ 方程	11
3.4.1	打包物理常数	11
3.4.2	剥离简化	12
3.4.3	最后一块拼图	14
3.4.4	变量代换	15
3.5	波函数 $\Psi$ 的完整形式	17
4	量子数 $n, n', \ell$ 和 $m$ 的说明	17
A	波函数表达式	20

## 0 前言

氢原子和类氢离子是经典的二体体系：带正电的原子核与带负电的电子仅在库仑势的作用下运动。量子力学中，描述氢原子和类氢离子的微观状态，其实就是求解这个定态薛定谔方程：

$$\left( -\frac{\hbar^2}{2\mu} \nabla^2 - \frac{Ze^2}{4\pi\epsilon_0 r} \right) \Psi(\mathbf{r}) = E\Psi(\mathbf{r}) \quad (1)$$

其中， $\hbar$  为约化普朗克常数， $\mu = \frac{m_n m_e}{m_n + m_e}$  为原子核与电子的约化质量<sup>1</sup>， $\nabla^2$  为拉普拉斯算符（梯度的散度）， $Z$  为原子核的核电荷数， $e$  为电子电量， $\epsilon_0$  为真空介电常数。形式上看，它是哈密顿算符  $\hat{H}$  的本征方程，波函数  $\Psi(\mathbf{r})$  对应的能量本征值是  $E$ 。只要获得  $\Psi(\mathbf{r})$ ，我们就掌握了这个微观体系的状态信息。

这篇文章主要介绍求解微分方程(1)的方法以及其中的物理含义。<sup>2</sup>

## 1 预处理

### 1.1 坐标系选取

方程(1)最棘手的部分就是势能项  $-\frac{Ze^2}{4\pi\epsilon_0 r}$ ，在直角坐标系下会出现  $(x^2 + y^2 + z^2)^{-\frac{1}{2}}$  的项。由此可以想到在球坐标下求解，三个坐标  $(r, \theta, \varphi)$  的含义如图1所示。

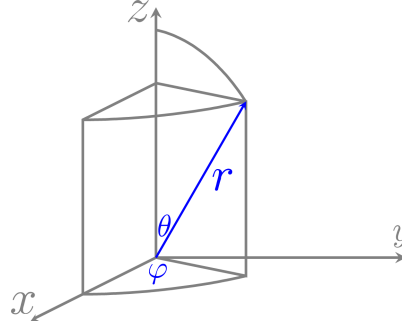


图 1: 球坐标系下的三坐标  $(r, \theta, \varphi)$  示意图

借助二者的对应关系

$$\begin{cases} x = r \sin \theta \cos \varphi \\ y = r \sin \theta \sin \varphi \\ z = r \cos \theta \end{cases} \quad (2)$$

<sup>1</sup>为了方便，这里也可以采用波恩-奥本海默近似 (Born-Oppenheimer approximation)：原子核质量  $m_n$  远大于电子质量  $m_e$ ，所以  $\mu$  可以用  $m_e$  近似代替。

<sup>2</sup>当然，其他讲量子力学或者量子化学的书籍中也必然会包含这些内容，也许并不会写得这么啰嗦（或者往乐观的方向看，没这么详细），毕竟只是解个微分方程而已，数学家早就用各种特殊函数铺好路了。不过有些细节还是值得说明的，比如各个量子数的由来和引入原因，波函数角向部分的选取方式和特点等。

改写拉普拉斯算符

$$\begin{aligned}\nabla^2\Psi &= \frac{\partial^2\Psi}{\partial x^2} + \frac{\partial^2\Psi}{\partial y^2} + \frac{\partial^2\Psi}{\partial z^2} \\ &= \frac{1}{r^2} \frac{\partial}{\partial r} \left( r^2 \frac{\partial\Psi}{\partial r} \right) + \frac{1}{r^2 \sin\theta} \frac{\partial}{\partial\theta} \left( \sin\theta \frac{\partial\Psi}{\partial\theta} \right) + \frac{1}{r^2 \sin^2\theta} \frac{\partial^2\Psi}{\partial\varphi^2}\end{aligned}\quad (3)$$

带回(1), 得到球坐标系下的定态薛定谔方程:

$$-\frac{\hbar^2}{2\mu r^2} \frac{\partial}{\partial r} \left( r^2 \frac{\partial\Psi}{\partial r} \right) - \frac{Ze^2}{4\pi\epsilon_0 r} \Psi - \frac{\hbar^2}{2\mu r^2} \left[ \frac{1}{\sin\theta} \frac{\partial}{\partial\theta} \left( \sin\theta \frac{\partial\Psi}{\partial\theta} \right) + \frac{1}{\sin^2\theta} \frac{\partial^2\Psi}{\partial\varphi^2} \right] = E\Psi \quad (4)$$

其中, 波函数  $\Psi = \Psi(r, \theta, \varphi)$  依赖的坐标也相应地发生改变.

## 1.2 角动量算符引入

量子力学中, 可观测的力学量  $F$  都对应着一个厄米算符  $\hat{F}$ . 在坐标表象下, 坐标算符等同于经典力学中的坐标:

$$\begin{aligned}\hat{x} &= x, \quad \hat{y} = y, \quad \hat{z} = z \\ \hat{\mathbf{r}} &= (\hat{x}, \hat{y}, \hat{z}) = (x, y, z)\end{aligned}\quad (5)$$

动量算符与对应坐标的一阶微商有关:

$$\begin{aligned}\hat{p}_x &= -i\hbar \frac{\partial}{\partial x}, \quad \hat{p}_y = -i\hbar \frac{\partial}{\partial y}, \quad \hat{p}_z = -i\hbar \frac{\partial}{\partial z} \\ \hat{\mathbf{p}} &= (\hat{p}_x, \hat{p}_y, \hat{p}_z) = -i\hbar \left( \frac{\partial}{\partial x}, \frac{\partial}{\partial y}, \frac{\partial}{\partial z} \right) = -i\hbar \nabla\end{aligned}\quad (6)$$

其他算符则可以用“经典类比”的方法构建: 如果经典力学量  $F = F(\mathbf{r}, \mathbf{p}, t)$  是坐标  $\mathbf{r}$ , 动量  $\mathbf{p}$  和时间  $t$  的函数, 那么它对应的算符就是进行  $\mathbf{r} \rightarrow \hat{\mathbf{r}}$  和  $\mathbf{p} \rightarrow \hat{\mathbf{p}}$  替换后的结果, 即  $\hat{F} = \hat{F}(\hat{\mathbf{r}}, \hat{\mathbf{p}}, t)$ . 例如经典力学中描述总能量的哈密顿量  $H$ :

$$H(\mathbf{r}, \mathbf{p}, t) = \underbrace{\frac{\mathbf{p} \cdot \mathbf{p}}{2m}}_{\text{动能项}} + \underbrace{V(\mathbf{r}, t)}_{\text{势能项}} \quad (7)$$

以及它在量子力学下对应的哈密顿算符  $\hat{H}$ :

$$\begin{aligned}\hat{H}(\hat{\mathbf{r}}, \hat{\mathbf{p}}, t) &= \frac{\hat{\mathbf{p}} \cdot \hat{\mathbf{p}}}{2m} + V(\hat{\mathbf{r}}, t) \\ &= \underbrace{-\frac{\hbar^2}{2m} \nabla^2}_{\text{动能项}} + \underbrace{V(\mathbf{r}, t)}_{\text{势能项}}\end{aligned}\quad (8)$$

薛定谔方程(1)最左侧的括号中便是这个形式. 其他算符与之类似, 如角动量算符  $\hat{\mathbf{L}}$ :

$$\begin{aligned}\hat{\mathbf{L}} &= \hat{\mathbf{r}} \times \hat{\mathbf{p}} \\ &= (\hat{x}, \hat{y}, \hat{z}) \times (\hat{p}_x, \hat{p}_y, \hat{p}_z) \\ &= (\hat{y}\hat{p}_z - \hat{z}\hat{p}_y, \hat{z}\hat{p}_x - \hat{x}\hat{p}_z, \hat{x}\hat{p}_y - \hat{y}\hat{p}_x)\end{aligned}\tag{9}$$

我们接下来使用的, 是  $\hat{\mathbf{L}}$  衍生出的两个算符. 一个是角动量  $z$  分量算符  $\hat{L}_z$ :

$$\hat{L}_z = \hat{x}\hat{p}_y - \hat{y}\hat{p}_x = -i\hbar \left( x \frac{\partial}{\partial y} - y \frac{\partial}{\partial x} \right)\tag{10}$$

它在球坐标系下的形式只与  $\varphi$  有关:

$$\hat{L}_z = -i\hbar \frac{\partial}{\partial \varphi}\tag{11}$$

另一个是角动量平方算符  $\hat{\mathbf{L}}^2$ , 它在球坐标系下的形式与(4)的某项几乎一致:

$$\hat{\mathbf{L}}^2 = \hat{\mathbf{L}} \cdot \hat{\mathbf{L}} = -\hbar^2 \left[ \frac{1}{\sin \theta} \frac{\partial}{\partial \theta} \left( \sin \theta \frac{\partial}{\partial \theta} \right) + \frac{1}{\sin^2 \theta} \frac{\partial^2}{\partial \varphi^2} \right]\tag{12}$$

## 2 变量分离

### 2.1 径向坐标分离

借助  $\hat{\mathbf{L}}^2$  的定义, 我们可以继续简化(4):

$$-\frac{\hbar^2}{2\mu r} \frac{\partial}{\partial r} \left( r^2 \frac{\partial \Psi}{\partial r} \right) - \frac{Ze^2}{4\pi\epsilon_0 r} \Psi + \frac{1}{2\mu r^2} \hat{\mathbf{L}}^2 \Psi = E\Psi\tag{13}$$

注意到, 所有与角向坐标  $\theta$  和  $\varphi$  有关的微商全部被收进  $\hat{\mathbf{L}}^2$  中, 因此我们可以通过分离变量来拆分方程. 设波函数  $\Psi(r, \theta, \varphi) = R(r)Y(\theta, \varphi)$ , 代入(13)中, 得到

$$-\frac{\hbar^2}{2\mu r^2} \frac{\partial}{\partial r} \left[ r^2 \frac{\partial (RY)}{\partial r} \right] - \frac{Ze^2}{4\pi\epsilon_0 r} RY + \frac{1}{2\mu r^2} \hat{\mathbf{L}}^2 (RY) = ERY\tag{14}$$

对上式分离变量后, 两边再同时除以  $(RY)$ :

$$-\frac{1}{R} \frac{\hbar^2}{2\mu r^2} \frac{d}{dr} \left( r^2 \frac{dR}{dr} \right) - \frac{Ze^2}{4\pi\epsilon_0 r} + \frac{1}{2\mu r^2} \frac{\hat{\mathbf{L}}^2 Y}{Y} = E\tag{15}$$

在上式中, 只有  $\frac{\hat{\mathbf{L}}^2 Y}{Y}$  与  $\theta$  和  $\varphi$  有关, 所以这一项必须是常数. 不妨假设它的值为  $A$ , 即

$$\frac{\hat{\mathbf{L}}^2 Y}{Y} = A\tag{16}$$

综合(15)和(16), 即可得到径向坐标分离的方程组:

$$-\frac{1}{R(r)} \frac{\hbar^2}{2\mu r^2} \frac{d}{dr} \left[ r^2 \frac{dR(r)}{dr} \right] - \frac{Ze^2}{4\pi\epsilon_0 r} + \frac{A}{2\mu r^2} = E \quad (17a)$$

$$\hat{\mathbf{L}}^2 Y(\theta, \varphi) = AY(\theta, \varphi) \quad (17b)$$

从(17b)的形式可以看出, 它是角动量平方算符  $\hat{\mathbf{L}}^2$  的本征方程,  $A$  和  $Y(\theta, \varphi)$  分别是对应的本征值与本征函数.

## 2.2 角向坐标分离

与径向坐标  $r$  的分离方法类似, 我们还可以通过分离变量获得分别关于  $\theta$  和  $\varphi$  的方程. 按照(12)中给出的  $\hat{\mathbf{L}}^2$  的定义, 补全(17b), 得到

$$-\hbar^2 \left[ \frac{1}{\sin\theta} \frac{\partial}{\partial\theta} \left( \sin\theta \frac{\partial}{\partial\theta} \right) + \frac{1}{\sin^2\theta} \frac{\partial^2}{\partial\varphi^2} \right] Y = AY \quad (18)$$

我们定义一个新的常数<sup>3</sup> $A_0$  来隐藏物理常数  $\hbar$ :

$$A_0 = \frac{A}{\hbar^2} \quad (19)$$

并假设函数  $Y(\theta, \varphi) = \Theta(\theta)\Phi(\varphi)$ , (18)便可化为

$$\frac{1}{\sin\theta} \frac{\partial}{\partial\theta} \left[ \sin\theta \frac{\partial(\Theta\Phi)}{\partial\theta} \right] + \frac{1}{\sin^2\theta} \frac{\partial^2(\Theta\Phi)}{\partial\varphi^2} = -A_0\Theta\Phi \quad (20)$$

对上式分离变量后, 两边再同时除以  $(\Theta\Phi)$ :

$$\frac{1}{\Theta} \frac{1}{\sin\theta} \frac{d}{d\theta} \left( \sin\theta \frac{d\Theta}{d\theta} \right) + \frac{1}{\sin^2\theta} \left( \frac{1}{\Phi} \frac{d^2\Phi}{d\varphi^2} \right) = -A_0 \quad (21)$$

在上式中, 只有  $\left( \frac{1}{\Phi} \frac{d^2\Phi}{d\varphi^2} \right)$  与  $\varphi$  有关, 所以这一项必须是常数. 不妨假设它的值为  $M$ , 即

$$\frac{1}{\Phi} \frac{d^2\Phi}{d\varphi^2} = M \quad (22)$$

综合(21)和(22), 对两个方程稍作整理, 即可得到角向坐标分离的方程组:

$$\frac{1}{\Theta \sin\theta} \frac{d}{d\theta} \left( \sin\theta \frac{d\Theta}{d\theta} \right) + \frac{M}{\sin^2\theta} = -A_0 \quad (23a)$$

$$\Phi'' = M\Phi \quad (23b)$$

---

<sup>3</sup>其实它还是个无量纲的常数.

至此, 我们把波函数  $\Psi(r, \theta, \varphi)$  中的三个坐标完全分离, 并且拆分出了三个微分方程(17a), (23a)和(23b), 分别叫做  $R$  方程,  $\Theta$  方程和  $\Phi$  方程. 它们之间通过常数  $M$  和  $A$  产生联系, 我们可以从易到难依次解决.

### 3 逐个击破

#### 3.1 解 $\Phi$ 方程

$\Phi$  方程(23b)的形式  $\Phi'' = M\Phi$  最为简单, 我们可以直接写出它的通解:

$$\Phi(\varphi) = c_+ e^{\sqrt{M}\varphi} + c_- e^{-\sqrt{M}\varphi} \quad (24)$$

乍一看,  $M$  似乎可以取任意值. 然而在球坐标下, 坐标  $\varphi$  是带有周期性条件的:

$$\Phi(\varphi + 2\pi) = \Phi(\varphi) \quad (25)$$

$\Phi(\varphi)$  在形式上是指数函数的线性组合, 但是它又需要满足上述周期性条件, 因此指数中的系数  $\sqrt{M}$  只能取虚数单位  $i$  的整数倍. 不妨假设  $\sqrt{M} = im$  ( $m \in \mathbb{Z}$ ), 此时常数  $M = -m^2$ , 通解为

$$\Phi(\varphi) = c_+ e^{im\varphi} + c_- e^{-im\varphi} \quad (26)$$

常系数  $c_+$  和  $c_-$  的选取也有讲究. 这里介绍两种常见的选取方式, 分别侧重物理学和化学的视角:

1. 仅保留第一项, 即  $c_- = 0$ , 此时  $\Phi(\varphi) = c_+ e^{im\varphi}$ . 这样选择的好处在于,  $\Phi(\varphi)$  是角动量  $z$  分量算符  $\hat{L}_z$  的对应本征值  $m\hbar$  的本征函数, 有明确的物理含义, 但是它也因此变成了复函数.

$$\hat{L}_z \Phi = -i\hbar \frac{\partial}{\partial \varphi} (c_+ e^{im\varphi}) = m\hbar (c_+ e^{im\varphi}) = m\hbar \Phi \quad (27)$$

2. 利用两项的线性组合构造实函数, 即  $c_- = \pm c_+$ , 此时  $\Phi(\varphi)$  是成对出现的三角函数形式. 这样选择的好处在于, 波函数在空间中有明显的方向性, 有利于原子间成键, 轨道杂化等化学图像的构建, 但是它也不再是  $\hat{L}_z$  的本征函数.

$$\Phi_{\cos}(\varphi) = c_+ (e^{im\varphi} + e^{-im\varphi}) = c_+^{\cos} \cos m\varphi \quad (28a)$$

$$\Phi_{\sin}(\varphi) = c_+ (e^{im\varphi} - e^{-im\varphi}) = c_+^{\sin} \sin m\varphi \quad (28b)$$

这两种选择方式对应两组不同的基函数, 可以通过么正变换相互转化. 至于要采用哪种方式, 取决于面临哪种问题. 这里我们追求  $m$  的物理含义, 所以就采用第一种方式. 通常我们认为

$c_+ = \frac{1}{\sqrt{2\pi}}$ , 是利用  $\Phi$  的归一化条件确定的:

$$\int_0^{2\pi} \Phi^*(\varphi)\Phi(\varphi)d\varphi = 1 \quad (29)$$

这样就得到了  $\Phi$  方程的解:

$$\Phi_m(\varphi) = \frac{1}{\sqrt{2\pi}} e^{im\varphi} \quad (30)$$

其角标表明了  $\Phi(\varphi)$  由  $m$  决定.

新引入的整数  $m$  决定了  $M$  的值, 现在就可以开始求解  $\Theta$  方程了.

## 3.2 解 $\Theta$ 方程

### 3.2.1 改写三角函数形式

在求解  $\Phi$  方程时, 我们获得了常数  $M$  的值:  $M = -m^2$  ( $m \in \mathbb{Z}$ ), 将其带回(23a)中, 得到

$$\frac{1}{\Theta \sin \theta} \frac{d}{d\theta} \left( \sin \theta \frac{d\Theta}{d\theta} \right) - \frac{m^2}{\sin^2 \theta} = -A_0 \quad (31)$$

两侧同时乘以  $\Theta \sin^2 \theta$  消去分母:

$$\sin \theta \frac{d}{d\theta} \left( \sin \theta \frac{d\Theta}{d\theta} \right) - m^2 \Theta = -A_0 \Theta \sin^2 \theta \quad (32)$$

为了处理方程中频繁出现的三角函数和对  $\theta$  的微商, 我们定义变量  $x = \cos \theta$  ( $\in [-1, 1]$ ), 有

$$\sin \theta \frac{d}{d\theta} = \sin \theta \frac{dx}{d\theta} \frac{d}{dx} = -\sin^2 \theta \frac{d}{dx} = (x^2 - 1) \frac{d}{dx} \quad (33)$$

此时(32)化为

$$(x^2 - 1) \frac{d}{dx} \left[ (x^2 - 1) \frac{d\Theta}{dx} \right] - m^2 \Theta = -A_0 (1 - x^2) \Theta \quad (34)$$

将所有项移至左侧, 稍作整理得到

$$\frac{d}{dx} \left[ (1 - x^2) \frac{d\Theta}{dx} \right] + \left( A_0 - \frac{m^2}{1 - x^2} \right) \Theta = 0 \quad (35)$$

和最初的方程(31)相比, 通过变量代换  $x = \cos \theta$ , (35)中不再含有麻烦的三角函数. 除了  $\frac{m^2}{1-x^2}$  之外, 其他项都是简单的多项式, 我们就先从  $m = 0$  这个消去棘手项的特殊情况入手.

### 3.2.2 特殊情况: $m = 0$ 时的解

当  $m = 0$  时, (35) 简化为

$$\frac{d}{dx} \left[ (1-x^2) \frac{d\Theta}{dx} \right] + A_0 \Theta = 0 \quad (36)$$

展开后得到

$$(1-x^2)\Theta'' - 2x\Theta' + A_0\Theta = 0 \quad (37)$$

对于上述方程, 可设如下级数解:

$$\Theta(x) = \sum_{k=0}^{+\infty} c_k x^k \quad (38)$$

带回(37), 得到

$$(1-x^2) \sum_{k=2}^{+\infty} k(k-1)c_k x^{k-2} - 2x \sum_{k=1}^{+\infty} k c_k x^{k-1} + A_0 \sum_{k=0}^{+\infty} c_k x^k = 0 \quad (39)$$

对齐加和指标, 合并以上所有项:

$$\sum_{k=0}^{+\infty} \{ (k+1)(k+2)c_{k+2} + [A_0 - k(k+1)]c_k \} x^k = 0 \quad (40)$$

由于上式对于任意  $x \in [-1, 1]$  恒成立, 所以  $x^k$  前的系数均为 0:

$$(k+1)(k+2)c_{k+2} + [A_0 - k(k+1)]c_k = 0 \quad (k \in \mathbb{N}) \quad (41)$$

或者写成系数递推的形式:

$$\frac{c_{k+2}}{c_k} = \frac{k(k+1) - A_0}{(k+1)(k+2)} \quad (k \in \mathbb{N}) \quad (42)$$

由于递推形式是限制在  $c_k$  和  $c_{k+2}$  上的, 所以只要确定  $c_0$  和  $c_1$ , 就可以确定所有系数. 为了保证解有意义,  $c_0$  和  $c_1$  不能同时为 0.

$$\begin{aligned} \text{系数序列 1: } c_0 &\rightarrow c_2 \rightarrow c_4 \rightarrow c_6 \rightarrow \cdots \\ \text{系数序列 2: } c_1 &\rightarrow c_3 \rightarrow c_5 \rightarrow c_7 \rightarrow \cdots \end{aligned} \quad (43)$$

构造级数解的方法较为简便, 但是要格外注意收敛的问题. 特别地,  $x = 1$  对应的级数为  $\Theta(1) = \sum_{k=0}^{+\infty} c_k$ , 如果  $A_0$  的值的选择不合适, 系数  $c_k$  不能快速减小,  $\Theta(1)$  就有发散的风险. 当  $A_0$  不是两个连续自然数的乘积时,  $k(k+1) - A_0 \neq 0$  ( $k \in \mathbb{N}$ ) 恒成立, 则对于非常大的  $k = 2t$ ,



我们考察比值

$$\frac{c_{2(t+1)}}{c_{2t}} = \frac{2t(2t+1) - A_0}{(2t+1)(2t+2)} \approx \frac{2t(2t+1)}{(2t+1)(2t+2)} = \frac{t}{t+1} = \frac{\frac{1}{t+1}}{\frac{1}{t}} \quad (44)$$

所以系数非常大时, 可以认为  $c_{2t} \sim \frac{1}{t}$ , 而  $\frac{1}{t}$  对应的调和级数  $\sum_t 1/t$  发散, 因此  $\Theta(1)$  也发散. 为了避免这种发散的情况, 级数必须终止, 也就是从某一项之后的系数  $c_k$  全部为 0. 对于(43)中列出的两个系数序列, 我们可以调整  $A_0 = \ell(\ell+1)$  ( $\ell \in \mathbb{N}$ ), 此时的递推形式为

$$\frac{c_{k+2}}{c_k} = \frac{k(k+1) - \ell(\ell+1)}{(k+1)(k+2)} \quad (k \in \mathbb{N}) \quad (45)$$

就使得  $c_{\ell+2}$  及其所在序列之后的系数全部为 0. 而对于另一个序列, 直接设置初始系数为 0 即可. 这样就得到了  $\Theta(x)$  的多项式解, 示例如下:

- 选择  $\ell = 0$ , 配合  $c_1 = 0$ , 得到级数解  $\Theta_0(x) = c_0$
- 选择  $\ell = 1$ , 配合  $c_0 = 0$ , 得到级数解  $\Theta_1(x) = c_1 x$
- 选择  $\ell = 2$ , 配合  $c_1 = 0$ , 得到级数解  $\Theta_2(x) = c_0(-3x^2 + 1)$
- 选择  $\ell = 3$ , 配合  $c_0 = 0$ , 得到级数解  $\Theta_3(x) = c_1(-\frac{5}{3}x^3 + x)$

这一系列多项式也被称为勒让德多项式 (Legendre polynomial), 通常记为  $P_\ell(x)$ , 它是如下勒让德方程 (Legendre equation) 的解:

$$(1-x^2)P_\ell''(x) - 2xP_\ell'(x) + \ell(\ell+1)P_\ell(x) = 0 \quad (\ell \in \mathbb{N}) \quad (46)$$

除了系数递推式(45)的定义之外, 我们还可以用罗德里格斯公式 (Rodrigues' formula) 导出  $P_\ell(x)$  的多项式求导的表达形式:

$$P_\ell(x) = C_\ell \frac{d^\ell}{dx^\ell} \left[ (x^2-1)^\ell \right] \quad (47)$$

其中,  $C_\ell$  是与  $\ell$  有关的常数. 从上式也可以看出,  $P_\ell(x)$  恰好是  $x$  的  $\ell$  阶多项式.

### 3.2.3 一般情况: $m \neq 0$ 时的解

当  $m \neq 0$  时, (35)则可以改写为以下形式:

$$\Theta'' - \frac{2x}{1-x^2}\Theta' + \left[ \frac{A_0}{1-x^2} - \frac{m^2}{(1-x^2)^2} \right] \Theta = 0 \quad (48)$$

直接构造级数解比较麻烦, 需要做预先处理.  $x = \pm 1$  是(48)的正则奇点, 可以在对应位置构造指标方程. 在  $x = 1$  处, 因为

$$\begin{aligned}\lim_{x \rightarrow 1} (x-1) \left( -\frac{2x}{1-x^2} \right) &= \lim_{x \rightarrow 1} \frac{2x}{1+x} = 1 \\ \lim_{x \rightarrow 1} (x-1)^2 \left[ \frac{A_0}{1-x^2} - \frac{m^2}{(1-x^2)^2} \right] &= \lim_{x \rightarrow 1} \left[ \frac{A_0(x-1)}{1+x} - \frac{m^2}{(1+x)^2} \right] = -\frac{m^2}{4}\end{aligned}\quad (49)$$

所以  $x = 1$  的指标方程为

$$\mathcal{R}(\mathcal{R}-1) + \mathcal{R} - \frac{m^2}{4} = 0 \quad (50)$$

解得

$$\mathcal{R}_1 = \frac{|m|}{2}, \quad \mathcal{R}_2 = -\frac{|m|}{2} \quad (51)$$

$x = -1$  处的结果与之完全相同, 不再赘述. 因为  $\mathcal{R}_1 - \mathcal{R}_2 = |m| \in \mathbb{N}^+$ , 所以方程(48)在  $x = \pm 1$  附近的两个正则解为

$$\Theta_{\text{reg1}}(x) = (x \mp 1)^{\frac{|m|}{2}} \sum_{k=0}^{+\infty} c_k (x \mp 1)^k \quad (52a)$$

$$\Theta_{\text{reg2}}(x) = C \Theta_{\text{reg1}}(x) \ln(x \mp 1) + (x \mp 1)^{-\frac{|m|}{2}} \sum_{k=0}^{+\infty} d_k (x \mp 1)^k \quad (52b)$$

受  $(x \mp 1)^{-\frac{|m|}{2}}$  的影响,  $\Theta_{\text{reg2}}(x)$  在  $x = \pm 1$  处无界, 直接舍去. 从另一个正则解(52a)的形式可以看出,  $\Theta(x)$  中拆分  $(x-1)^{\frac{|m|}{2}}(x+1)^{\frac{|m|}{2}}$  之后, 剩余的部分就是多项式形式. 因此可设(48)的解为:

$$\Theta(x) = C_m (1-x^2)^{\frac{|m|}{2}} w(x) \quad (53)$$

其中  $C_m$  是与  $m$  有关的常数. 将它带回(48), 得到关于  $w(x)$  的方程:

$$(1-x^2)w'' - 2x(|m|+1)w' + [A_0 - |m|(|m|+1)]w = 0 \quad (54)$$

到这一步, 就可以利用级数解的方法求  $w(x)$  了, 做法与上一节类似. 为了得到收敛解, 同样要求  $A_0 = \ell(\ell+1)$  ( $\ell \in \mathbb{N}^+$ ). 但是这里可以抄个捷径: 仔细观察就会发现, (54)的形式与勒让德方程(46)异常相似. 实际上, 将勒让德方程(46)两边对  $x$  求  $|m|$  次微商, 就会得到(54), 根据我们在  $m = 0$  的特殊情况下得到的结果, 就能直接写出  $w(x)$  的形式:

$$\begin{aligned}w(x) &= \frac{d^{|m|}}{dx^{|m|}} P_\ell(x) \\ &= C_\ell \frac{d^{\ell+|m|}}{dx^{\ell+|m|}} \left[ (x^2-1)^\ell \right]\end{aligned}\quad (55)$$

因此原方程(48)的解为

$$\Theta(x) = C_\ell C_m (1-x^2)^{\frac{|m|}{2}} \frac{d^{\ell+|m|}}{dx^{\ell+|m|}} \left[ (x^2-1)^\ell \right] \quad (56)$$

由于  $(x^2-1)^\ell$  是  $2\ell$  次多项式, 因此微商次数  $\ell+|m|$  不能超过多项式次数  $2\ell$ , 否则就会得到零多项式解, 没有物理意义. 也就是说, 参数  $\ell$  和  $m$  之间存在限制关系  $\ell \geq |m|$ .

这一系列函数也被称为连带勒让德函数<sup>4</sup>(associated Legendre function), 通常记为  $P_\ell^m(x)$ . 它是如下连带勒让德方程 (associated Legendre equation) 的解:

$$(1-x^2) \frac{d^2}{dx^2} P_\ell^m(x) - 2x \frac{d}{dx} P_\ell^m(x) + \left[ \ell(\ell+1) - \frac{m^2}{1-x^2} \right] P_\ell^m(x) = 0 \quad (57)$$

方程附带限制条件  $m \in \mathbb{Z}$ ,  $\ell \in \mathbb{N}$ ,  $\ell \geq |m|$ . 连带勒让德函数的形式<sup>5</sup>为

$$P_\ell^m(x) = \frac{(-1)^m}{2^\ell \ell!} (1-x^2)^{\frac{m}{2}} \frac{d^{\ell+m}}{dx^{\ell+m}} \left[ (x^2-1)^\ell \right] \quad (58)$$

它具有如下归一化性质:

$$\int_{-1}^1 [P_\ell^m(x)]^2 dx = \frac{2}{2\ell+1} \frac{(\ell+m)!}{(\ell-m)!} \quad (59)$$

对比(56)与(58), 不难发现  $\Theta(x)$  是  $P_\ell^{|m|}(x)$  的倍数. 由  $x = \cos \theta$  换回变量  $\theta$ , 再根据  $\Theta(\theta)$  的归一化条件确定倍数:

$$\int_0^\pi \Theta^*(\theta) \Theta(\theta) \sin \theta d\theta = 1 \quad (60)$$

我们就完成了  $\Theta$  方程的求解:

$$\Theta_\ell^m(\theta) = \sqrt{\frac{2\ell+1}{2} \frac{(\ell-|m|)!}{(\ell+|m|)!}} P_\ell^{|m|}(\cos \theta) \quad (61)$$

其角标表明了  $\Theta(\theta)$  由  $\ell$  和  $m$  决定.

### 3.3 球谐函数 $Y(\theta, \varphi)$

根据之前的定义  $Y(\theta, \varphi) = \Theta(\theta)\Phi(\varphi)$ , 可以求出

$$Y_\ell^m(\theta, \varphi) = \sqrt{\frac{2\ell+1}{4\pi} \frac{(\ell-|m|)!}{(\ell+|m|)!}} P_\ell^{|m|}(\cos \theta) e^{im\varphi} \quad (62)$$

<sup>4</sup>注意它的名称是“函数”而非“多项式”, 因为  $m$  为奇数时还包含非多项式项  $\sqrt{1-x^2}$ . 此外, 在它的通常记号  $P_\ell^m(x)$  中, 上标  $m$  是参数而非幂次.

<sup>5</sup>其中引入的  $(-1)^m$  因子是 Condon-Shortley 相位.

函数  $Y_\ell^m(\theta, \varphi)$  通常被称为球谐函数 (spherical harmonics), 同样由  $\ell$  和  $m$  这两个参数决定. 从之前的求解过程中也不难发现,  $Y_\ell^m(\theta, \varphi)$  是  $\hat{\mathbf{L}}^2$  和  $\hat{L}_z$  的共同本征函数:

$$\hat{\mathbf{L}}^2 Y_\ell^m = \ell(\ell+1)\hbar^2 Y_\ell^m \quad (63a)$$

$$\hat{L}_z Y_\ell^m = m\hbar Y_\ell^m \quad (63b)$$

说明最初的波函数  $\Psi(r, \theta, \varphi) = R(r)Y_\ell^m(\theta, \varphi)$  具备固定的总角动量和角动量  $z$  分量.

稍微说些题外话. 如果继续追溯来源就会发现, 函数  $Y_\ell^m(\theta, \varphi)$  其实对应着(4)中角向部分的解. 而这一部分又完全来自拉普拉斯算符  $\nabla^2$ , 所以也可以说是  $\nabla^2$  角向部分的解:

$$-\frac{\hbar^2}{2\mu} \underbrace{\frac{1}{r^2} \frac{\partial}{\partial r} \left( r^2 \frac{\partial \Psi}{\partial r} \right)}_{\nabla^2 \text{ 的径向部分}} - \overbrace{\frac{Ze^2}{4\pi\epsilon_0 r}}^{\text{库仑势 } V(r)} \Psi - \frac{\hbar^2}{2\mu} \underbrace{\frac{1}{r^2} \left[ \frac{1}{\sin\theta} \frac{\partial}{\partial\theta} \left( \sin\theta \frac{\partial \Psi}{\partial\theta} \right) + \frac{1}{\sin^2\theta} \frac{\partial^2 \Psi}{\partial\varphi^2} \right]}_{\nabla^2 \text{ 的角向部分}} = E\Psi \quad (64)$$

这也就是求解拉普拉斯方程时会出现  $Y_\ell^m$  的原因.

另外注意(64)这个薛定谔方程, 其中的库仑势是中心势 (仅与  $r$  有关, 而与  $\theta$  和  $\varphi$  无关), 所以  $\nabla^2$  的角向部分不会受到势能项  $V(r)$  的干扰, 对应的解也不会发生改变. 换句话说, 只要薛定谔方程的势能项是中心势, 波函数中就会有  $Y_\ell^m$  的影子.

角向部分的处理到此结束, 而且  $A$  的值在解  $\Theta$  方程时也得以确定, 剩下的就是  $R$  方程了.

### 3.4 解 $R$ 方程

#### 3.4.1 打包物理常数

在求解  $\Theta$  方程时, 我们获得了常数  $A$  的值:  $A = A_0\hbar^2 = \ell(\ell+1)\hbar^2$  ( $\ell \in \mathbb{N}$ ), 将其带回(17a)中, 得到

$$-\frac{\hbar^2}{2\mu R r^2} \frac{d}{dr} \left( r^2 \frac{dR}{dr} \right) - \frac{Ze^2}{4\pi\epsilon_0 r} + \frac{\ell(\ell+1)\hbar^2}{2\mu r^2} = E \quad (65)$$

方程中夹杂着大量物理常数, 要想办法整理一下. 首先在等号两边同时乘以  $\left(-\frac{2\mu R r^2}{\hbar^2}\right)$  以消去二阶微商项前面的系数:

$$\frac{d}{dr} \left( r^2 \frac{dR}{dr} \right) + \frac{\mu Z e^2}{2\pi\epsilon_0 \hbar^2} R r - \ell(\ell+1)R = -\frac{2\mu R r^2}{\hbar^2} E \quad (66)$$

然后设置无量纲的中间变量  $x$ , 合并第二项的系数:

$$x = \frac{\mu Z e^2}{2\pi\epsilon_0 \hbar^2} r \quad (67)$$

(66)就可以改写为

$$\frac{d}{dx} \left( x^2 \frac{dR}{dx} \right) + xR - \ell(\ell+1)R = -\frac{8\pi^2 \varepsilon_0^2 \hbar^2 E}{\mu Z^2 e^4} x^2 R \quad (68)$$

把所有物理常数赶到一起之后, 就可以把它们打包了. 等号右边的系数恰好也是个无量纲的量, 并且我们选取自由电子静止时的能量作为零点, 所以在束缚态下, 能量本征值  $E$  为负, 意味着系数还是正值. 为了后续推导方便, 不妨假设它为  $\kappa^2$  ( $\kappa > 0$ ):

$$\kappa^2 = -\frac{8\pi^2 \varepsilon_0^2 \hbar^2}{\mu Z^2 e^4} E \quad (69)$$

带回(68), 展开后稍作整理, 就得到了

$$R'' + \frac{2}{x}R' + \left[ -\kappa^2 + \frac{1}{x} - \frac{\ell(\ell+1)}{x^2} \right] R = 0 \quad (70)$$

形式上清爽不少.

### 3.4.2 剥离简化

为了保证求出的波函数具备物理意义, 径向部分  $R$  必须有界.

当  $x \rightarrow \infty$  时, (70)只会留下两项:

$$R'' - \kappa^2 R \approx 0 \quad (71)$$

这对应着  $e^{\kappa x}$  和  $e^{-\kappa x}$  两个解. 由于  $\kappa > 0$ , 前者随着  $x$  的增大而指数暴涨, 直接舍去, 由此可以认为  $R(x)$  中包含一个  $e^{-\kappa x}$  因子. 为了让结果的形式更简洁, 我们引入最后一个中间变量  $\rho$ :

$$\begin{aligned} \rho &= 2\kappa x \\ &= 2 \cdot \sqrt{-\frac{8\pi^2 \varepsilon_0^2 \hbar^2}{\mu Z^2 e^4} E} \cdot \frac{\mu Z e^2}{2\pi \varepsilon_0 \hbar^2} r \\ &= \sqrt{-\frac{8\mu E}{\hbar^2}} r \end{aligned} \quad (72)$$

此时拆分出的指数因子就是  $e^{-\frac{\rho}{2}}$ , 即

$$R(\rho) = e^{-\frac{\rho}{2}} S(\rho) \quad (73)$$

且  $R(x)$  替换为  $R(\rho)$  后, (70)转化为关于  $\rho$  的方程:

$$R'' + \frac{2}{\rho}R' + \left[ -\frac{1}{4} + \frac{1}{2\kappa\rho} - \frac{\ell(\ell+1)}{\rho^2} \right] R = 0 \quad (74)$$

将定义(73)带入(74)中化简, 得到关于  $S(\rho)$  的方程:

$$S'' + \left(\frac{2}{\rho} - 1\right) S' + \left[\frac{1 - 2\kappa}{2\kappa\rho} - \frac{\ell(\ell + 1)}{\rho^2}\right] S = 0 \quad (75)$$

对于(75)来说,  $\rho = 0$  是正则奇点, 同样可以通过指标方程构造  $\rho = 0$  附近的正则解. 由于

$$\begin{aligned} \lim_{\rho \rightarrow 0} \rho \left(\frac{2}{\rho} - 1\right) &= 2 \\ \lim_{\rho \rightarrow 0} \rho^2 \left[\frac{1 - 2\kappa}{2\kappa\rho} - \frac{\ell(\ell + 1)}{\rho^2}\right] &= -\ell(\ell + 1) \end{aligned} \quad (76)$$

所以  $\rho = 0$  的指标方程为

$$\mathcal{R}(\mathcal{R} - 1) + 2\mathcal{R} - \ell(\ell + 1) = 0 \quad (77)$$

解得

$$\mathcal{R}_1 = \ell, \mathcal{R}_2 = -(\ell + 1) \quad (78)$$

因为  $\mathcal{R}_1 - \mathcal{R}_2 = (2\ell + 1) \in \mathbb{N}^+$ , 所以方程(75)在  $\rho = 0$  附近的两个正则解为

$$S_{\text{reg1}}(\rho) = \rho^\ell \sum_{k=0}^{+\infty} c_k \rho^k \quad (79a)$$

$$S_{\text{reg2}}(\rho) = C S_{\text{reg1}}(\rho) \ln \rho + \rho^{-(\ell+1)} \sum_{k=0}^{+\infty} d_k \rho^k \quad (79b)$$

受  $\rho^{-(\ell+1)}$  的影响,  $S_{\text{reg2}}(\rho)$  在  $\rho = 0$  处无界, 直接舍去. 正则解(79a)的形式说明  $S(\rho)$  中还可以再拆分出一个  $\rho^\ell$  因子, 不妨假设

$$S(\rho) = \rho^\ell T(\rho) \quad (80)$$

$R(\rho)$  的定义更新为

$$R(\rho) = \rho^\ell e^{-\frac{\ell}{2}} T(\rho) \quad (81)$$

而  $T(\rho)$  应当满足如下方程:

$$\rho T'' + [2(\ell + 1) - \rho] T' + \left[\frac{1}{2\kappa} - (\ell + 1)\right] T = 0 \quad (82)$$

通过简单分析, 我们从  $R(\rho)$  中剥离出了  $\rho^\ell e^{-\frac{\ell}{2}}$  因子<sup>6</sup>, 剩余部分满足的方程看上去变复杂了, 但是它可以通过级数顺利求解.

---

<sup>6</sup>思考: 直接利用(70)求正则解, 就只需要剥离  $x^\ell$  因子了, 剩余的部分满足什么方程? 它和方程(82)相比, 求解时有什么缺点?

### 3.4.3 最后一块拼图

构造  $T(\rho)$  的级数解形式:

$$T(\rho) = \sum_{t=0}^{+\infty} c_t \rho^t \quad (83)$$

将其代入(82)中, 得到

$$\rho \sum_{t=2}^{+\infty} t(t-1)c_t \rho^{t-2} + [2(\ell+1) - \rho] \sum_{t=1}^{+\infty} t c_t \rho^{t-1} + \left[ \frac{1}{2\kappa} - (\ell+1) \right] \sum_{t=0}^{+\infty} c_t \rho^t = 0 \quad (84)$$

对齐加和指标, 合并以上所有项:

$$\sum_{t=0}^{+\infty} \left\{ (t+1)(2\ell+2+t)c_{t+1} - \left[ (t+\ell+1) - \frac{1}{2\kappa} \right] c_t \right\} \rho^t = 0 \quad (85)$$

由于上式对于任意  $\rho \geq 0$  恒成立, 所以  $\rho^t$  前的系数均为 0:

$$(t+1)(2\ell+2+t)c_{t+1} - \left[ (t+\ell+1) - \frac{1}{2\kappa} \right] c_t = 0 \quad (t \in \mathbb{N}) \quad (86)$$

或者写成系数递推的形式:

$$\frac{c_{t+1}}{c_t} = \frac{(t+\ell+1) - \frac{1}{2\kappa}}{(t+1)(2\ell+2+t)} \quad (t \in \mathbb{N}) \quad (87)$$

这确定了相邻两项之间的递推关系, 所以只要确定了  $c_0$ , 就可以确定所有系数. 与处理  $\Theta$  方程时的思路相同, 如果我们任由级数项数无限增长, 那么当  $t$  非常大时, 有

$$\frac{c_{t+1}}{c_t} = \frac{(t+\ell+1) - \frac{1}{2\kappa}}{(t+1)(2\ell+2+t)} \approx \frac{t}{(t+1)t} = \frac{1}{t+1} \quad (88)$$

它与  $e^\rho$  的相邻项系数关系一致, 所以可以认为在  $t$  非常大时,  $T(\rho) \sim e^\rho$ , 而这就意味着  $R(\rho) = \rho^\ell e^{-\frac{\rho}{2}} T(\rho) \sim \rho^\ell e^{\frac{\rho}{2}}$ , 又回到了  $R$  无界的情况. 为了避免指数爆炸, 级数必须终止, 也就是某一项之后的系数  $c_t$  全部为 0. 我们调整  $\kappa = \frac{1}{2(n'+\ell+1)}$  ( $n' \in \mathbb{N}$ ), 递推关系式(87)变为

$$\frac{c_{t+1}}{c_t} = \frac{t - n'}{(t+1)(2\ell+2+t)} \quad (t \in \mathbb{N}) \quad (89)$$

就使得  $c_{n'+1}$  及其之后的系数全部为 0.  $n'$  取不同的自然数, 就能确定系数的递推关系, 从而产生一系列多项式解  $T_{n'}(\rho)$ , 例如:

- $n' = 0$  时, 解为  $T_0(\rho) = c_0$
- $n' = 1$  时, 解为  $T_1(\rho) = \frac{c_0}{\alpha+1} [-\rho + (\alpha+1)]$

- $n' = 2$  时, 解为  $T_2(\rho) = \frac{2c_0}{(\alpha+1)(\alpha+2)} \left[ \frac{1}{2}\rho^2 - (\alpha+2)\rho + \frac{(\alpha+1)(\alpha+2)}{2} \right]$
- $n' = 3$  时, 解为  $T_3(\rho) = \frac{6c_0}{(\alpha+1)(\alpha+2)(\alpha+3)} \left[ -\frac{1}{6}\rho^3 + \frac{\alpha+3}{2}\rho^2 - \frac{(\alpha+2)(\alpha+3)}{2}\rho + \frac{(\alpha+1)(\alpha+2)(\alpha+3)}{6} \right]$

其中  $\alpha = 2\ell + 1$ , 是为了方便结果展示而暂时定义的量. 由递推关系很容易看出,  $T_{n'}(\rho)$  恰好是  $\rho$  的  $n'$  阶多项式.

这一系列多项式也被称为连带拉盖尔多项式 (associated Laguerre polynomial), 通常记为  $L_\beta^\alpha(x)$ , 它是如下微分方程的解:

$$x \frac{d^2}{dx^2} L_\beta^\alpha(x) + (\alpha + 1 - x) \frac{d}{dx} L_\beta^\alpha(x) + \beta L_\beta^\alpha(x) = 0 \quad (90)$$

除了系数递推式(89)的定义之外,  $L_\beta^\alpha(x)$  也有函数求导的表达形式:

$$L_\beta^\alpha(x) = \frac{x^{-\alpha} e^x}{\beta!} \frac{d^\beta}{dx^\beta} (e^{-x} x^{\alpha+\beta}) \quad (91)$$

将  $\kappa = \frac{1}{2(n'+\ell+1)}$  ( $n' \in \mathbb{N}$ ) 代入方程(82)并将其重写, 再和(90)并排做对比:

$$\rho \frac{d^2}{d\rho^2} T(\rho) + [(2\ell + 1) + 1 - \rho] \frac{d}{d\rho} T(\rho) + n' T(\rho) = 0 \quad (92a)$$

$$x \frac{d^2}{dx^2} L_\beta^\alpha(x) + (\alpha + 1 - x) \frac{d}{dx} L_\beta^\alpha(x) + \beta L_\beta^\alpha(x) = 0 \quad (92b)$$

不难发现  $T(\rho) = C_R L_{n'}^{2\ell+1}(\rho)$ , 因此  $R(\rho) = \rho^\ell e^{-\frac{\rho}{2}} T(\rho) = C_R \rho^\ell e^{-\frac{\rho}{2}} L_{n'}^{2\ell+1}(\rho)$ , 前面的系数  $C_R$  可用于后续径向部分的归一化.

#### 3.4.4 变量代换

最后就是将  $\rho$  换回熟悉的变量  $r$ , 二者的关系中还保留着常数  $E$ , 它可以利用(69)以及  $\kappa$  的值计算:

$$\begin{aligned} E &= -\frac{\mu Z^2 e^4}{8\pi^2 \varepsilon_0^2 \hbar^2} \kappa^2 \\ &= -\frac{\mu Z^2 e^4}{32\pi^2 \varepsilon_0^2 \hbar^2} \cdot \frac{1}{(n' + \ell + 1)^2} \end{aligned} \quad (93)$$

结果表明  $E$  对正整数  $(n' + \ell + 1)$  的平方成反比, 我们把它看做一个新的参数  $n = n' + \ell + 1$ . 由于  $n', \ell \in \mathbb{N}$ , 所以  $n \in \mathbb{N}^+$  且  $n > \ell$ . 此时的  $E$  化简为

$$E = -\frac{\mu Z^2 e^4}{32\pi^2 \varepsilon_0^2 \hbar^2} \cdot \frac{1}{n^2} \quad (94)$$



而  $\rho$  与  $r$  的关系为

$$\begin{aligned}\rho &= \sqrt{-\frac{8\mu E}{\hbar^2}} r \\ &= \frac{\mu Z e^2}{2\pi\epsilon_0 \hbar^2} \cdot \frac{1}{n} \cdot r\end{aligned}\quad (95)$$

又是一大堆常数, 但是如果把它们适当整合, 就会得到一个长度量纲的  $a_0^*$ :

$$\begin{aligned}a_0^* &= \frac{4\pi\epsilon_0 \hbar^2}{\mu e^2} \\ &\approx 5.2946541 \times 10^{-11} \text{ m}\end{aligned}\quad (96)$$

常量  $a_0^*$  也被称为约化玻尔半径 (reduced Bohr radius), 和一般的玻尔半径  $a_0$  相比, 二者只在分母的质量项上有区别, 前者为约化质量  $\mu$ , 后者为电子质量  $m_e$ .  $\rho$  与常数  $E$  在形式上可以进一步简化:

$$\rho = \frac{2Z}{na_0^*} r \quad (97)$$

$$E = -\frac{Z^2 e^2}{8\pi\epsilon_0 a_0^*} \frac{1}{n^2} \quad (98)$$

现在将  $\rho$  换回最初的变量  $r$ :

$$R(r) = C_R \left( \frac{2Z}{na_0^*} r \right)^\ell e^{-\frac{Z}{na_0^*} r} L_{n-\ell-1}^{2\ell+1} \left( \frac{2Z}{na_0^*} r \right) \quad (99)$$

再由归一化条件

$$\int_0^{+\infty} R^2(r) r^2 dr = 1 \quad (100)$$

确定常数  $C_R$  的值:

$$C_R = \sqrt{\left( \frac{2Z}{na_0^*} \right)^3 \frac{(n-\ell-1)!}{2n(n+\ell)!}} \quad (101)$$

最终得到  $R$  方程的解:

$$R_{n\ell}(r) = \sqrt{\left( \frac{2Z}{na_0^*} \right)^3 \frac{(n-\ell-1)!}{2n(n+\ell)!}} \left( \frac{2Z}{na_0^*} r \right)^\ell e^{-\frac{Z}{na_0^*} r} L_{n-\ell-1}^{2\ell+1} \left( \frac{2Z}{na_0^*} r \right) \quad (102)$$

其角标表明了  $R(r)$  由  $n$  和  $\ell$  决定.

### 3.5 波函数 $\Psi$ 的完整形式

有了径向部分(102)与角向部分(62), 我们将二者结合, 就可以得到氢原子与类氢离子的波函数  $\Psi$  的完整形式:

$$\begin{aligned}\Psi_{n\ell m}(r, \theta, \varphi) &= R_{n\ell}(r)Y_{\ell}^m(\theta, \varphi) \\ &= \mathcal{N}_{n\ell m} \left( \frac{2Z}{na_0^*} r \right)^{\ell} e^{-\frac{Z}{na_0^*} r} L_{n-\ell-1}^{2\ell+1} \left( \frac{2Z}{na_0^*} r \right) P_{\ell}^{|m|}(\cos \theta) e^{im\varphi}\end{aligned}\quad (103)$$

内容很多, 所以有必要再简要叙述一遍其中涉及的符号.  $\mathcal{N}_{n\ell m}$  是归一化常数:

$$\mathcal{N}_{n\ell m} = \sqrt{\left( \frac{2Z}{na_0^*} \right)^3 \frac{(n-\ell-1)!}{2n(n+\ell)!}} \cdot \sqrt{\frac{2\ell+1}{4\pi} \frac{(\ell-|m|)!}{(\ell+|m|)!}} \quad (104)$$

$a_0^*$  是约化玻尔半径, 包含了原方程中的大部分物理常数:

$$a_0^* = \frac{4\pi\epsilon_0\hbar^2}{\mu e^2} \quad (105)$$

除此之外, 结果中还有两个特殊函数. 一个是连带拉盖尔多项式  $L_{\beta}^{\alpha}(x)$ :

$$L_{\beta}^{\alpha}(x) = \frac{x^{-\alpha} e^x}{\beta!} \frac{d^{\beta}}{dx^{\beta}} (e^{-x} x^{\alpha+\beta}) \quad (106)$$

另一个是连带勒让德函数  $P_{\ell}^m(x)$ :

$$P_{\ell}^m(x) = \frac{(-1)^m}{2^{\ell}\ell!} (1-x^2)^{\frac{m}{2}} \frac{d^{\ell+m}}{dx^{\ell+m}} [(x^2-1)^{\ell}] \quad (107)$$

在求解方程时, 为了保证解具备物理意义, 我们还引入了几个参数:  $n, n', \ell, m$ . 与通常认知中的物理量不同, 这些参数只能取整数/自然数/正整数等离散值, 而不能连续变化, 所以它们也被称为“量子数 (quantum number)”.

## 4 量子数 $n, n', \ell$ 和 $m$ 的说明

简要回顾一下几个量子数的引入原因与限制条件:

1. 量子数  $m$ : 解  $\Phi$  方程时, 为了满足周期性条件  $\Phi(\varphi) = \Phi(\varphi + 2\pi)$  而引入, 要求  $m \in \mathbb{Z}$ .
2. 量子数  $\ell$ : 解  $\Theta$  方程时, 为了得到收敛的级数解而引入, 要求  $\ell \in \mathbb{N}$ . 另外结果中出现了“ $2\ell$  次多项式微商  $\ell + |m|$  次”的形式, 为了得到非零解, 还要求  $\ell \geq |m|$ .
3. 量子数  $n'$ : 解  $R$  方程时, 为了得到收敛的级数解而引入, 要求  $n' \in \mathbb{N}$ .
4. 量子数  $n$ : 根据定义  $n = n' + \ell + 1$ , 就有  $n \in \mathbb{N}^+$  且  $n > \ell$ .

单从以上总结来看, 这些离散参数是解微分方程时自然引出的, 并没有什么物理意义. 其实不然, 最终求得波函数  $\Psi_{n\ell m}$  中的三个参数恰好分别对应哈密顿算符  $\hat{\mathbf{H}}$ , 角动量平方算符  $\hat{\mathbf{L}}^2$  和角动量  $z$  分量算符  $\hat{L}_z$  的本征方程:

$$\hat{\mathbf{H}}\Psi_{n\ell m} = \left(-\frac{Z^2 e^2}{8\pi\epsilon_0 a_0^*} \frac{1}{n^2}\right) \Psi_{n\ell m} \quad (108a)$$

$$\hat{\mathbf{L}}^2\Psi_{n\ell m} = \ell(\ell+1)\hbar^2\Psi_{n\ell m} \quad (108b)$$

$$\hat{L}_z\Psi_{n\ell m} = m\hbar\Psi_{n\ell m} \quad (108c)$$

意味着这一微观状态具有特定的能量  $\left(-\frac{Z^2 e^2}{8\pi\epsilon_0 a_0^*} \frac{1}{n^2}\right)$ , 角动量  $\sqrt{\ell(\ell+1)}\hbar$  以及角动量  $z$  分量  $m\hbar$ ! 这三个量子数各确定一个物理量, 按照物理意义称  $n$  为主量子数 (principle quantum number),  $\ell$  为角量子数 (azimuthal quantum number),  $m$  为磁量子数 (magnetic quantum number).

剩下的量子数  $n'$  有什么含义呢? 根据目前较为主流的哥本哈根诠释, 波函数的模平方  $|\Psi|^2$  代表了粒子出现在某位置的概率密度. 如果在空间中的某个曲面上  $\Psi = 0$ , 那么粒子在该面上出现的概率密度为 0, 这个面就被称为“节面”. 对于之前解出的波函数来说, 其中的径向部分包含了一个连带拉盖尔多项式  $L_{n-\ell-1}^{2\ell+1}(\cdot)$ , 而它恰好有  $n' = (n-\ell-1)$  个不同的正根, 意味着  $\Psi_{n\ell m}$  含有  $n'$  个径向节面. 因此  $n'$  也被称为径量子数 (radial quantum number). 不过它不像其他三个量子数那样与某个物理量直接相关, 而且它也能通过  $n$  和  $\ell$  简单计算导出, 所以我们通常不提这个量子数.

按照(103)的形式, 我们只要给出合适的  $n, \ell, m$  参数, 就能够完全确定波函数  $\Psi_{n\ell m}$ . 例如  $n=2, \ell=1, m=1$  时:

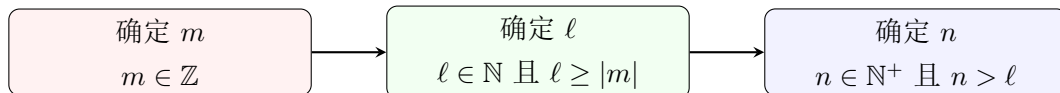
$$\Psi_{211} = \frac{(Z/a_0^*)^{3/2}}{8\sqrt{\pi}} \left(\frac{Zr}{a_0^*}\right) e^{-\frac{Zr}{2a_0^*}} \sin\theta e^{i\varphi} \quad (109)$$

再如  $n=4, \ell=2, m=-1$  时:

$$\Psi_{42\bar{1}} = \frac{(Z/a_0^*)^{3/2}}{512\sqrt{6\pi}} \left(12 - \frac{Zr}{a_0^*}\right) \left(\frac{Zr}{a_0^*}\right)^2 e^{-\frac{Zr}{4a_0^*}} \sin\theta \cos\theta e^{-i\varphi} \quad (110)$$

有了波函数之后, 就可以着手分析其性质了, 比如粒子距离中心原子核的平均距离, 粒子出现概率的角向分布等等. 当然, 波函数也算是关于  $(r, \theta, \varphi)$  的函数, 用来绘制图像再合适不过了, 比如按给定概率密度划分的“等概率密度面”, 按概率密度采样得到的“电子云”等等.

最后是关于  $n, \ell, m$  三个量子数的一点说明. 按照之前求解方程的顺序, 我们是这样确定它们的——先确定  $m$ , 再用  $m$  确定  $\ell$ , 最后用  $\ell$  确定  $n$ :



实际应用中, 我们会把这个过程颠倒过来, 用下面这种等价的描述方式:



主量子数  $n$  取正整数, 每个正整数对应一个“电子层”, 可用大写英文字母表示:

$n$	1	2	3	4	5	6	7
字母代号	K	L	M	N	O	P	Q

角量子数  $\ell$  取 0 至  $(n-1)$  之间的整数, 每个整数对应一个“亚层”, 可用小写英文字母表示:

$\ell$	0	1	2	3	4	5	6
字母代号	s	p	d	f	g	h	i

磁量子数  $m$  则取  $-\ell$  至  $\ell$  之间的整数, 一般以亚层下标的形式出现. 结合这三者, 我们就可以给出原子轨道<sup>7</sup>的简记形式. 例如之前展示的  $\Psi_{211}$  可以叫做  $2p_1$  轨道,  $\Psi_{42\bar{1}}$  可以叫做  $4d_{-1}$  或  $4d_{\bar{1}}$  轨道.

如果我们采用的是侧重化学视角的实波函数, 角标上的磁量子数  $m$  就是无意义的, 此时我们可以把它替换为波函数在空间中的方向. 例如由  $2p_1$  和  $2p_{-1}$  轨道线性组合得到的  $2p_x$  和  $2p_y$  轨道, 分别是在  $x$  轴与  $y$  轴上的纺锤形轨道. 再如由  $4d_1$  和  $4d_{-1}$  轨道线性组合得到的  $4d_{xz}$  和  $4d_{yz}$  轨道, 分别是  $xOz$  和  $yOz$  平面上的花瓣形轨道.

<sup>7</sup>完整地讲, 这里的“原子轨道”应该叫做“原子轨道波函数”(atomic orbital), 和一般意义上的“轨道”(orbit) 有区别.

## A 波函数表达式

下表为 K, L, M, N 电子层的原子轨道波函数, 其中  $\sigma = \frac{Zr}{a_0^*}$ .

$n$	$\ell$	$m$	原子轨道记号	波函数表达式
1	0	0	1s	$(Z/a_0^*)^{3/2} \cdot \frac{1}{\sqrt{\pi}} e^{-\sigma}$
2	0	0	2s	$(Z/a_0^*)^{3/2} \cdot \frac{1}{4\sqrt{2\pi}} (2 - \sigma) e^{-\sigma/2}$
2	1	0	2p <sub>0</sub>	$(Z/a_0^*)^{3/2} \cdot \frac{1}{4\sqrt{2\pi}} \sigma e^{-\sigma/2} \cos \theta$
2	1	$\pm 1$	2p <sub><math>\pm 1</math></sub>	$(Z/a_0^*)^{3/2} \cdot \frac{1}{8\sqrt{\pi}} \sigma e^{-\sigma/2} \sin \theta \cdot e^{\pm i\varphi}$
3	0	0	3s	$(Z/a_0^*)^{3/2} \cdot \frac{1}{81\sqrt{3\pi}} (27 - 18\sigma + 2\sigma^2) e^{-\sigma/3}$
3	1	0	3p <sub>0</sub>	$(Z/a_0^*)^{3/2} \cdot \frac{1}{81\sqrt{2\pi}} (12\sigma - 2\sigma^2) e^{-\sigma/3} \cos \theta$
3	1	$\pm 1$	3p <sub><math>\pm 1</math></sub>	$(Z/a_0^*)^{3/2} \cdot \frac{1}{81\sqrt{\pi}} (6\sigma - \sigma^2) e^{-\sigma/3} \sin \theta \cdot e^{\pm i\varphi}$
3	2	0	3d <sub>0</sub>	$(Z/a_0^*)^{3/2} \cdot \frac{1}{81\sqrt{6\pi}} \sigma^2 e^{-\sigma/3} (3 \cos^2 \theta - 1)$
3	2	$\pm 1$	3d <sub><math>\pm 1</math></sub>	$(Z/a_0^*)^{3/2} \cdot \frac{1}{81\sqrt{\pi}} \sigma^2 e^{-\sigma/3} \sin \theta \cos \theta \cdot e^{\pm i\varphi}$
3	2	$\pm 2$	3d <sub><math>\pm 2</math></sub>	$(Z/a_0^*)^{3/2} \cdot \frac{1}{162\sqrt{\pi}} \sigma^2 e^{-\sigma/3} \sin^2 \theta \cdot e^{\pm 2i\varphi}$
4	0	0	4s	$(Z/a_0^*)^{3/2} \cdot \frac{1}{1536\sqrt{\pi}} (192 - 144\sigma + 24\sigma^2 - \sigma^3) e^{-\sigma/4}$
4	1	0	4p <sub>0</sub>	$(Z/a_0^*)^{3/2} \cdot \frac{1}{512\sqrt{5\pi}} (80\sigma - 20\sigma^2 + \sigma^3) e^{-\sigma/4} \cos \theta$
4	1	$\pm 1$	4p <sub><math>\pm 1</math></sub>	$(Z/a_0^*)^{3/2} \cdot \frac{1}{512\sqrt{10\pi}} (80\sigma - 20\sigma^2 + \sigma^3) e^{-\sigma/4} \sin \theta \cdot e^{\pm i\varphi}$
4	2	0	4d <sub>0</sub>	$(Z/a_0^*)^{3/2} \cdot \frac{1}{3072\sqrt{\pi}} (12\sigma^2 - \sigma^3) e^{-\sigma/4} (3 \cos^2 \theta - 1)$
4	2	$\pm 1$	4d <sub><math>\pm 1</math></sub>	$(Z/a_0^*)^{3/2} \cdot \frac{1}{512\sqrt{6\pi}} (12\sigma^2 - \sigma^3) e^{-\sigma/4} \sin \theta \cos \theta \cdot e^{\pm i\varphi}$
4	2	$\pm 2$	4d <sub><math>\pm 2</math></sub>	$(Z/a_0^*)^{3/2} \cdot \frac{1}{1024\sqrt{6\pi}} (12\sigma^2 - \sigma^3) e^{-\sigma/4} \sin^2 \theta \cdot e^{\pm 2i\varphi}$
4	3	0	4f <sub>0</sub>	$(Z/a_0^*)^{3/2} \cdot \frac{1}{3072\sqrt{5\pi}} \sigma^3 e^{-\sigma/4} (5 \cos^3 \theta - 3 \cos \theta)$
4	3	$\pm 1$	4f <sub><math>\pm 1</math></sub>	$(Z/a_0^*)^{3/2} \cdot \frac{1}{2048\sqrt{15\pi}} \sigma^3 e^{-\sigma/4} (5 \cos^2 \theta - 1) \sin \theta \cdot e^{\pm i\varphi}$
4	3	$\pm 2$	4f <sub><math>\pm 2</math></sub>	$(Z/a_0^*)^{3/2} \cdot \frac{1}{1024\sqrt{6\pi}} \sigma^3 e^{-\sigma/4} \cos \theta \sin^2 \theta \cdot e^{\pm 2i\varphi}$
4	3	$\pm 3$	4f <sub><math>\pm 3</math></sub>	$(Z/a_0^*)^{3/2} \cdot \frac{1}{6144\sqrt{\pi}} \sigma^3 e^{-\sigma/4} \sin^3 \theta \cdot e^{\pm 3i\varphi}$